

Sm_4Al_3

8м - алюминаты

VIII 2265

1955

URO₃, rge U-pegkozeneust. zivens

R = Al, Fe, Cr

(Tm)

Ruggiero A., Ferro R.,
Gazz. chim. ital., 1955, 85, 892-897

Б

Prex, 1956, N15, 46121

VIII 1529

1956

La(AlO₃) (Tr); Gd AlO₃, Eu AlO₃,
Eu(AlO₃), Nd AlO₃, PrAlO₃ (cups)

Geller S., Bala V.B.

Aeta crystallogr., 1956, 9, n12,

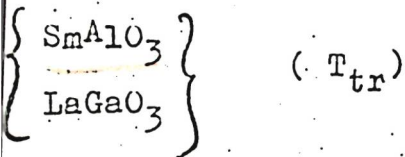
5, ill.

1019-1025

PAULX, 1957, 73761

EOTF D. H.

1957



Geller S.,

Acta crystallogr., 1957, 10, N 4, 243-248

Crystallographic studies of perovskite-like compounds. IV. Rare earth scandates, vanadites, orthochromites

PMChm., 1957, 73761

Refugee B

$\text{Sm}_2\text{Al}_2\text{O}_9$ (T_m)
 $\text{Gd}_2\text{Al}_2\text{O}_9$ (T_m)

VIII 3030

1960

Тресвятский С.Г., Кушаковский В.И.,
Белеванцев В.С.,

Атомн., энергия, 1960, № 3, 219-220

Изучение систем $\text{Al}_2\text{O}_3-\text{Sm}_2\text{O}_3$ и Al_2O_3-
 Gd_2O_3

РЖХим., 1960, IIБ4II

Б

VIII 1184

1963

Автоматы для заменения
зажигалок. (T_m)

Bondar I.A.,

Proc. Conf. Silicate Ind. 1963, 7,
327-336 (Pub. 1965)

CA, 1966, 64, n8, 10458a

Б
БСТ: Ф. К.

1965

2Sm₂O₃ · R₂O₃

Будгесков И.И. идр.

Докт. Акад. Наук

Tm

СССР, 165, 5, 1075

(Cu-Gd-Al-coeq) I

VIII 2946

1965

La Al₂O₃, Pr Al₂O₃, Nd Al₂O₃, Sm Al₂O₃,
Eu Al₂O₃, Gd Al₂O₃, Dy Al₂O₃ (Tm)

Топреку К.У., Тунискеево А.У.,
Узб. АН ссср. Несправ. математик,

1965, 1, №, 1598-1601

БОТБ №. 4

5

CA, 1966, 69, N10, 13726h

KOrO₃; KAlO₃ (Tin) 1965 VIII 321
X - прозрачесиелъ зелената
тапетирие K. U., Музейства
г. У., Касандъ баскортесиен.
Баскортесиев Тр. Баскортесиев
Баку. Адесептия: 1965 (бюд. 1967)
48-52

5

⑩

СО 1968

GdCrO_3 , SmAlO_3 , $\text{SmCrO}_3(\text{C}_p)^3$ 1968
VIII 904

De Combarieu A., Mareschal M
Michel M.C., Peyrard M, Sivardiére

C.R. Acad. Sci. Paris, Ser. A, B, 1968

L64B(2), 1169-72

Eq? H.

Specific heats of the perovskide
type compounds
 $\text{Gadolinium chromate}$
 $\text{and Samarium(II)alu-$
 minate (1969-70, 41121)

SrAlO_3 , NdAlO_3 , LaAlO_3 , (T) 1970
 CeAlO_3 , DyAlO_3 , DgAlO_3 , (Tc)

SmAlO_3 , VIII 3921
Geller S., Raedah P. M.

Phys. Rev. 1970, B, [3], 2, № 4, 463-472
(cont.)

Phase transitions in powder
silite-like compounds of
the rare earths.

6 ⑩ ✓

0411970, 12, № 92368)

40214.6100
Ex-Ch/XHB-z,
Ch. TE

$Sm_2O_3 \cdot 7Al_2O_3$
no. опубл. 89480

1973
1715

Yajima Seishi, Okamura Kiyohito,
Shishido Togetsu. Synthesis of lanthanoid aluminates (β - Al_2O_3 type) using arc plasma flame.

"Chem.Lett.", 1973, N12, 1331-1334
(англ.)

031 031-037 0044 МИК ВИНИТИ

1974

SmAlO₃

8 E762. Сегнетоупругое превращение в ортоалюминате самария. Abrahams S. C., Bernstein J. L., Remeika J. P. Ferroelastic transformation in samarium orthoaluminate. «Mater. Res. Bull.», 1974, 9, № 12, 1613—1616 (англ.)

пара и тройни
рассеяния

Проведены рентгеноструктурные и оптич. исследования монокристаллов SmAlO₃, выращенных из раствора PbO и B₂O₃. Параметры кристаллич. решетки монокристаллов SmAlO₃ при 298°K (Cu-Кα-излучение). $a = 5,291075 + 0,000024$, $b = 5,290479 + 0,000024$ и $c = 7,474200 + 0,00051$ Å; пространственная группа Pbpt. Обнаружено, что кристаллы больших размеров сдвойникованы, причем элементарные ячейки в соседних двойниках повернуты на 90° вокруг оси c , так что оси a и b в соседних доменах параллельны. Показано, что внешним механическим сжимающим напряжением ~50 Мнм⁻² кристалл легко раздвойниковать, либо перевести из одного ориентационного состояния abc в другое bac , а механическим напряжением ~30 Мнм⁻² можно вызвать двойникование кристалла. Е. Дудник

об. 1975 №8

B95 - 263 - XVIII

1974

~~Sm₂O₃·Al₂O₃~~

~~3EuO·Al₂O₃~~

~~3Yb₂O₃·5Al₂O₃~~

(46f)

②



Cu

C.A. 1975

82

N22

145860h Thermal reduction of samarium, europium, and ytterbium oxides by aluminum. De Godoy, J. M.; Grjotheim, K.; Herstad, O.; Krohn, C. (Norw. Inst. Technol., Univ. Trondheim, Trondheim, Norway). *Rev. Chim. Miner.* 1974, 11(5), 533-46 (Eng). The reaction mechanisms and the equil. vapor pressures were investigated. Vapor-pressure measurements were made by the Knudsen effusion technique, $10^{-0.2} - 10^{-5}$ atm. The thermal redn. of Sm_2O_3 established the equil. system $\text{Sm}_2\text{O}_3-\text{Sm}_{(l)}\text{Al}_2\text{O}_3-\text{Al}_{(l)}-\text{Sm}_{(g)}$, with Al present as an alloy with up to 41-42 at.% Sm. In the system $\text{Eu}_2\text{O}_3-\text{Al}$, a 3-step reaction was found: the 1st step, $(\text{Eu}_2\text{O}_3 + \text{Al}) \rightarrow (\text{EuO} + 3\text{EuO}\cdot\text{Al}_2\text{O}_3)$, showed that Eu_2O_3 is unstable in the presence of Al, and the 2nd and 3rd steps were presented by the equil.: $\text{EuO}-3\text{EuO}\cdot\text{Al}_2\text{O}_3=\text{Al}_{(l)}-\text{Eu}_{(g)}$ and $3\text{EuO}\cdot\text{Al}_2\text{O}_3-\text{EuO}\cdot\text{Al}_2\text{O}_3-\text{Al}_{(l)}-\text{Eu}_{(g)}$. The equil. phases of Al contain ~ 4 at.% Eu. The equil. system established by the aluminothermal redn. of Yb_2O_3 is $\text{Yb}_2\text{O}_3-3\text{Yb}_2\text{O}_3\cdot 5\text{Al}_2\text{O}_3-\text{Al}_{(l,b)}-\text{Yb}_{(g)}$ with Al present as a solid or liquid Al-Yb alloy. The equil. pressures of rare earth metals in each system are given as temp.-dependent equations obtained by linear least-squares fits of exptl. points. The Gibbs free energies of formation of rare earth aluminates are evaluated. Phase diagrams are given for the systems Sm-Al, Sm-Al-O, Eu-Al-O, and Yb-Al-O.

Sm₂AlO₃

XVII - 1189

1975

(T_{tr})

87912j High temperature phase transition by Raman scattering in samarium aluminum oxide (SmAlO₃). Alain, P.; Piriou, B. (Univ. Orleans, Orleans, Fr.). *Rev. Int. Hautes Temp. Refract.* 1975, 12(1), 35-9 (Eng). Raman scattering expts. on SmAlO₃ were carried out at various temps. and the results were used to suggest the modes which could induce the 1st-order high-temp. phase transition from the orthorhombic (V_h^{16}) to the trigonal (D_{3d}^6) structure. The temp. dependence of several Raman active phonons at $q \approx 0$ were obtained above and below the 1st-order displacive phase transition at 1060°K. Three modes decreased in frequency as the transition temp. is approached from below. The peculiar behavior of 2 modes suggested that they are assoc'd. actually with the phase transition. In addn., A_{1g} and E_g soft modes in the trigonal structure were obsd. for the 1st time. Frequencies and damping coeff. are reported. In spite of coloration and blackbody radiation from the sample, expts. were done up to 1,500°K.

C.A. 1975-83 n10

XVIII - 1189

1975

SmAlO₃

10 E813. Исследование высокотемпературного фазового перехода в SmAlO₃ методом комбинационного рассеяния света. Alain P., Rigoiu B. High temperature phase transition by Raman scattering in SmAlO₃. «Rev. int. hautes temp. et réfract.», 1975, 12, № 1, 35—39 (англ.)

(T_{tr})

Методом комбинационного рассеяния (аргоновый лазер, $\lambda=4880$ и 5145 Å) исследован фазовый переход первого рода типа смещения из ромбической (V_h^{16}) в тригональную (D_{3d}^6) модификацию в монокристалле SmAlO₃ при $T_0=1060$ °К. При нагреве до T_0 наблюдается уменьшение частоты трех мягких мод. Выше

T_0 зарегистрированы 3 моды, 2 из которых связываются непосредственно с переходом.

Б. Г. А.

ф. 1975 № 10

SmAlO_3

1976

Kocilec T.3 upp.

Beelech. block. $\text{YH}-\text{Q}$,
Xcell. 1976, 17(5), 636.

(ΔG_f)



(all. Zr AlO_3 ; I)

$\text{Si}_m\text{Al}_l\text{O}_3$ Кодекс Т.3. 1976

(Рукопись № 1600 Н. Венк. Иван.
уна-ма Кимин") и, 1976,

(Δ6)

17 с. с. Сибирьград 18 км.
(Рукопись деп. в БИИГИУ
26 апр 1976 г. 1382-76 зер)

($\text{Si}_m\text{Al}_l\text{O}_3$, I)

SmAlO_3

EuAlO_3

1977

(T_{tr})

89: 150526 High temperature phase transitions in rare earth aluminates. Alain, P.; Piriou, B. (UER Sci. Fondam. Appl., Univ. Orleans, Orleans, Fr.). *J. Phys. (Paris), Colloq.* 1977, (7), 389-94 (Fr). The phase transitions at high temp. in rare earth orthoaluminates compds. SmAlO_3 and EuAlO_3 were studied. The exptl. results obtained by Raman scattering are reviewed and analyzed, in particular changes of the line shape and frequencies occurring at the first order transition. The changes of the crystal and their effects on the lattice modes are described.

(+1) 



C.A. 1978, 89, N2

SmAlO₃

(Tm)

XVIII-7119

7934

2 Б850. Фазовая диаграмма системы Al_2O_3 — Sm_2O_3 при высоких температурах. Mizuno Masao, Yamada Toyoaki, Noguchi Tetsuo. «Егё кёкайси. Yogyo kyokaishi, J. Ceram. Soc. Jap.», 1977, 85, № 984, 374—379 (япон.; рез. англ.)

Построен ликвидус системы Al_2O_3 — Sm_2O_3 с помощью кривых охлаждения методом зеркального отражения в солнечной печи гелиостатич. типа. Закаленные от расплава образцы исследовали рентгенофазовым, микроскопич. и хим. анализом. Monoфазный SmAlO_3 со структурой типа перовскита получен при нагревании до 1300—1600° смеси окислов в электрич. печи сопротивления и также при охлаждении расплавленного образца в солнечной печи. Т. заст. SmAlO_3 2104°; высокотр. рентгенофазовым анализом подтвержден его фазовый переход орторомбич. \rightleftharpoons ромбоэдрич., наблюдаемый при 750°. Параметры решетки орторомбич. фазы a_0 5,301, b_0 5,295, c_0 7,503 Å при 750°, а ромбоэдрич. фазы a_0 5,284 Å и $\alpha=60^\circ 43'$ при 800°. Объем ячейки при фазовом переходе изменяется на 0,16%. Monoфазный мо-

2, 1945, № 2

иокл. $2\text{Sm}_2\text{O}_3 \cdot \text{Al}_2\text{O}_3$ получен в образцах, нагретых до 1600° в электрич. печи сопротивления и также в закаленных от расплава образцах. Т. заст. этого соединения 1977° . Параметры решетки этой фазы — $a = 7,52$, $b = 10,70$, $c = 11,19$ Å и $\beta = 108,9^\circ$. На фазовой диаграмме имеются

три эвтектич. точки при 1755° и 24 мол.% Sm_2O_3 , при 1910° и 61 мол.% Sm_2O_3 , и при 1880° и 80 мол.% Sm_2O_3 . На каждой кривой охлаждения Al_2O_3 , SmAlO_3 и $2\text{Sm}_2\text{O}_3 \cdot \text{Al}_2\text{O}_3$ имеется единственный экзотермич. пик, к-рый связан с затвердеванием, в то время как кривая охлаждения Sm_2O_3 содержит два экзотермич. пика, относимые к фазовым превращениям ниже т. заст. Представлена высокот-рная фазовая диаграмма $\text{Al}_2\text{O}_3 - \text{Sm}_2\text{O}_3$.

Резюме



SmAlO_3 ; $2\text{Sm}_2\text{O}_3 \cdot \text{Al}_2\text{O}_3$

1977

~~87-120-125~~ Phase diagram of the system aluminum oxide-samarium(III) oxide at high temperatures. Mizuno, Masao; Yamada, Toyoaki; Noguchi, Tetsuo (Gov. Ind. Res. Inst., Nagoya, Japan). *Yogyo Kyokai Shi* 1977, 85(8), 374-9 (Japan). The liquidus temp. of the Al_2O_3 - Sm_2O_3 system was measured from the cooling curve of specimens by the specular reflection method with a heliostat-type solar furnace. Quenched specimens from the melt were examd. by x-ray diffraction, petrog. microscopy, and chem. anal. SmAlO_3 with perovskite structure was obtained as a single phase by heating at 1300 and 1600° in an elec. resistance furnace, and by cooling the fused specimen in a solar furnace. The f.p. of SmAlO_3 was 2104°. The reversible phase transition between orthorhombic and rhombohedral forms at ~750° was confirmed by high x-ray diffractometry. The lattice parameters of the orthorhombic phase are $a_0 = 5.301$

(Tm)

C. O. 1977. 27 N 26

a , $b_0 = 5.295 \text{ \AA}$, $c_0 = 7.503 \text{ \AA}$ at 750° , and those of the rhombohedral phase $a_0 = 5.284 \text{ \AA}$, $\alpha = 60^\circ 43'$ at 800° . The monoclinic phase of $2 \text{ Sm}_2\text{O}_3 \cdot \text{Al}_2\text{O}_3$ was obsd. as a single phase in specimens heat treated at 1600° and in quenched specimens from the melt. The f.p. was 1977° . The lattice parameters were $a_0 = 7.52 \text{ \AA}$, $b_0 = 10.70 \text{ \AA}$, $c_0 = 11.19 \text{ \AA}$, $\beta = 108.9$. The phase diagram shows 3 eutectic points at 1755° with 24 mol % Sm_2O_3 , at 1910° with 61 mol % Sm_2O_3 , and at 1880° with 80 mol % Sm_2O_3 . The cooling curves of Al_2O_3 , SmAlO_3 , $\text{Sm}^{\text{Al}}\text{O}_3$, and $2 \text{ Sm}_2\text{O}_3 \cdot \text{Al}_2\text{O}_3$ each showed a single exothermic peak which is assigned to solidification, while the cooling curve of Sm_2O_3 showed 2 exothermic peaks related to solid state phase transformations below the f.p. A high-temp. phase diagram for the Al_2O_3 - Sm_2O_3 system is given.

1978

SmAlO₃

Tm, нафад,
решетки.
 $T_m = 2104^\circ C$

24 Б912. Фазовая диаграмма системы $Al_2O_3-Sm_2O_3$ при высоких температурах. Mizuno Masao, Yamada Toyoaki, Noguchi Tetsuo. «Нагоя когё гидзюцу секэнсё хококу, Repts Govt Ind. Res. Inst., Nagoya», 1978, № 5, 171—177 (япон.; рез. англ.)

Высокотемпературная часть диаграммы состояния системы $Al_2O_3-Sm_2O_3$ построена с помощью метода термич. анализа, закаленные образцы изучены рентгеновским, петрографич. и хим. методами. Установлено образование соединения $SmAlO_3$, плавящегося конгруэнтно при 2104° и образующего эвтектику с Al_2O_3 при 1755° (24 моль% Sm_2O_3) и соединения $2Sm_2O_3 \cdot Al_2O_3$, плавящегося конгруэнтно при 1977° и образующего эвтектику с Sm_2O_3 при 1880° (80 мол.% Sm_2O_3); эвтектика $SmAlO_3 + 2Sm_2O_3 \cdot Al_2O_3$ плавится при 1910° и расположена при 61 мол.% Sm_2O_3 . Ромбич. решетка $SmAlO_3$ с параметрами $a = 5,301$, $b = 5,295$, $c = 7,503$ Å (700°) переходит при 750° в ромбоэдрич. с параметрами $a = 5,284$ Å; $\alpha = 60^\circ 43$ (800°). Фаза $2Sm_2O_3 \cdot Al_2O_3$ характеризуется монокл. структурой.

Л. В. Шведов

2.10.1978, 1124

Si_n AlO₃

1977

Тумаков Ю.Д. упр.

(2H₅₇₅)

Тез. годич. - 7^{ая} Всес. конф.
по кристалл. 31/І-77-3/ІІ-77
4-3, суп 13.



SmAlO_3

1980

Coutures J.P., et al.

T_m ; ΔH_m ; High Temp. Sci., 1980,
13, N1-4, 331 - 336.

● (cer. LaCrO_3 ; ?)

SmAlO_3

Lommel 12549] 1981.

SmCoO_3

Coutures Y.-P.
et al.

SmCrO_3

SmScO_3

high Temp. Sci.;
1981, 13, 331-36.

Tm; Tc

SmAlGeOs

1982

Jarchow O., Klaska K.H.
et al.

сіриктипа Z. Kristallogr., 1982,
159, N1-4, 65.

(c.u. SmGaGeOs; i)

SmAlD₃ Oeuv. 19079 1984

Coutures J., Coutures J.P.

T_{tr}; J. Solid State Chem.,
1984, 52, N^o 2, 95-100.

SmAlO_3

1984

Coutures J., Coutures J.P.

T_{tr} ; J. Solid State Chem.,
1984, 52, N2, 95-100.

(cu. LaAlO_3 ; T)

SmAlO_3

1993

Марозова О.А. и др.

Оценки

ММХ, 1993, 38, №1, 1870-1874

$\Delta H_{298}^\circ =$

= 1452 kDж/моль

Sm AlO₃

1994

Резніцкий А.А., Фурманова С.Е.,

(SH) Неопак. матер., 1994, № 80,
NII, с. 1487 - 1488.

(ав.)



LaAlO₃; I)